



# 第六章 数字信号的频带传输

---

信息与通信工程学院

无线信号处理与网络实验室(WSPN)

智能计算与通信研究组 (IC<sup>2</sup>)

彭岳星

[yxpeng@bupt.edu.cn](mailto:yxpeng@bupt.edu.cn)

6119 8066 ext.2



# 本章内容

---

## ■ 调制过程

- 数字调制：比特序列→数字符号序列基带信号
- 模拟调制：数字基带信号→数字频带信号

## ■ 需掌握技能

- 调制信号表示：信号的矢量表示
- 调制信号频谱分析：带宽，连续/离散谱
- 解调方法：相干接收，匹配滤波，包络检波
- 解调性能分析



# 内容

---

- 二进制数字信号的正弦型载波调制
- 四相移相键控
- M进制数字调制
- 恒包络连续相位调制



# 6.1 调制及其分类

## ■ 数字信号的正弦型载波调制分类

### ■ 调制参数: 控制载波信号的某些参数

- 振幅键控 (ASK)
- 相位键控 (PSK)
- 频率键控 (FSK)
- 正交幅度调制 (QAM)

} 波形设计

### ■ 二进制和M进制: 调制信号的效率

### ■ 线性调制与非线性调制: 调制系统的线性性

### ■ 无记忆调制与有记忆调制: 调制系统的记忆性

} 码型设计

## 6.2.1 二进制启闭键控(OOK/2ASK)

- 定义：用二进制数字基带信号控制正弦载波的幅度

$$s_{OOK}(t) = A_c \left[ \sum_n a_n g_T(t - nT_s) \right] \cos 2\pi f_c t, \quad a_n \in \{0, 1\}$$
$$= \begin{cases} s_1(t) = A_c \cos 2\pi f_c t, & \text{"传号"} \\ s_2(t) = 0, & \text{"空号"} \end{cases}, \quad 0 \leq t \leq T_s$$

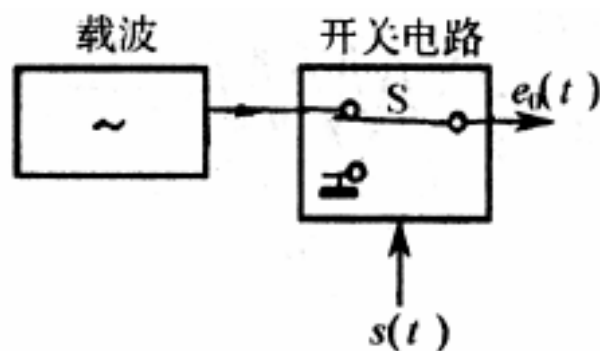
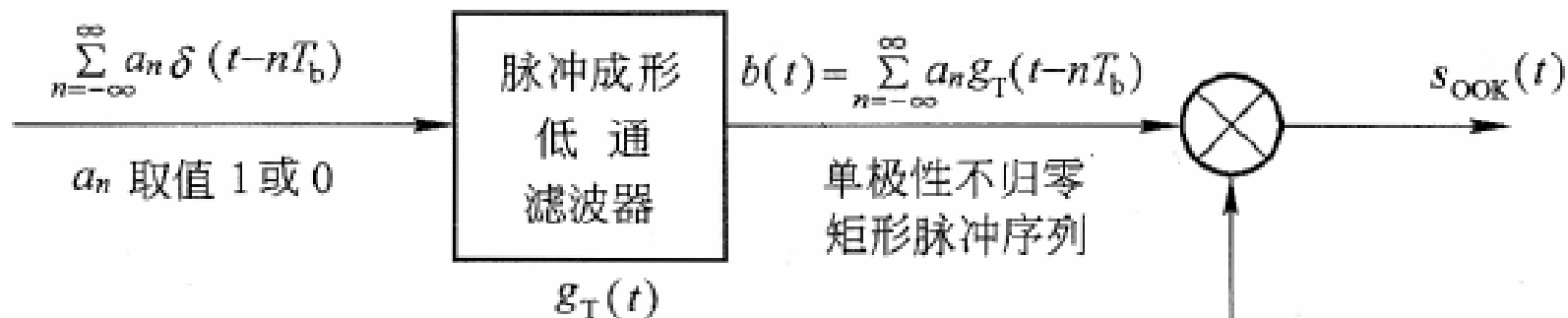
$$\text{其中, } a_n = \begin{cases} 0, & \text{以概率 } p \\ 1, & \text{以概率 } 1 - p \end{cases}$$

2ASK = 单极性不归零码 + DSB-SC

$$s_{OOK}(t) = \sum_n a_n g(t - nT_s), a_n \in \{0, 1\}$$

$$g(t) = A_c \text{Rect}\left(\frac{t - T_s/2}{T_s}\right) \cos 2\pi f_c t$$

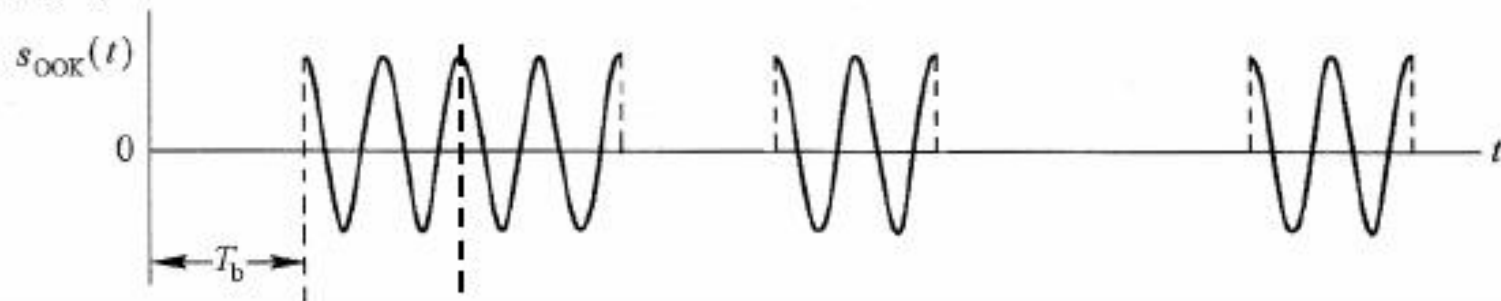
## 6.2.1 OOK信号的产生



通断键控(OOK)信号

二进制序列  $\{a_n\}$

0 1 1 0 1 0 0 1



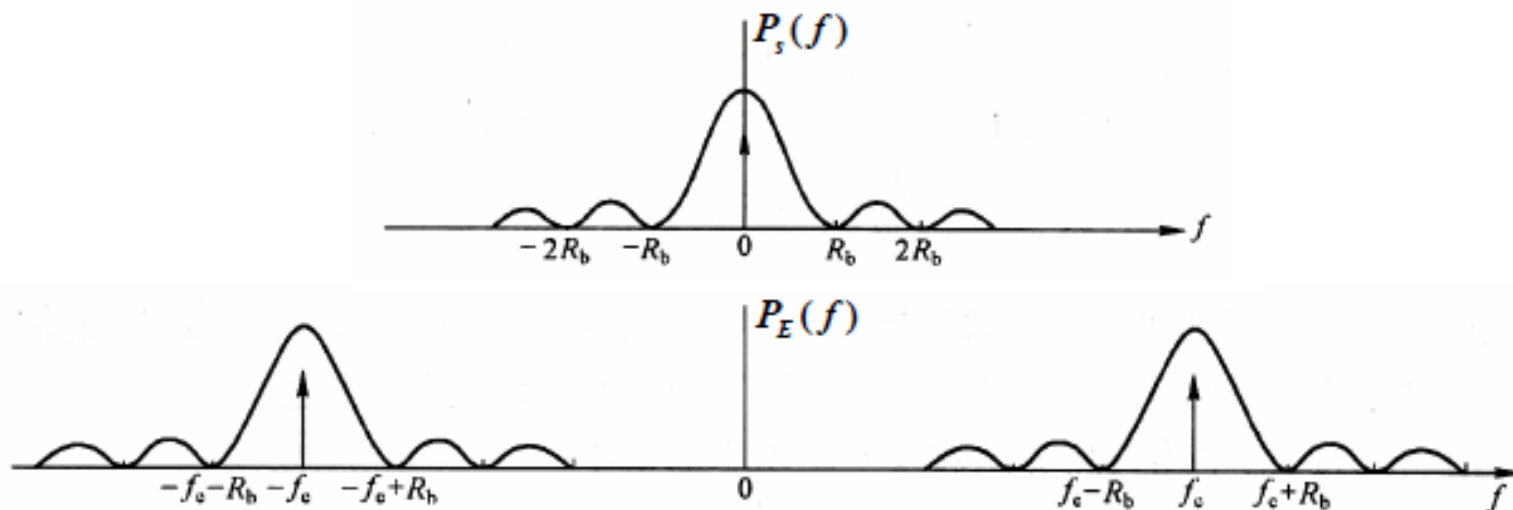
$$T_b = 2T_c$$

## 6.2.1 2ASK信号的谱结构

$$s_{OOK}(t) = s(t) \cos 2\pi f_c t \longleftrightarrow P_{OOK}(f) = \frac{1}{4} [P_s(f + f_c) + P_s(f - f_c)]$$

$s(t) = \sum_n a_n g_T(t - nT_s)$ : 单极性不归零矩形脉冲序列

$$\begin{aligned} P_s(f) &= \frac{\sigma_a^2}{T_s} |G(f)|^2 + \frac{m_a^2}{T_s^2} \sum_m \left| G\left(\frac{m}{T_s}\right) \right|^2 \delta\left(f - \frac{m}{T_s}\right) \\ &= \sigma_a^2 A^2 T_s \text{sinc}^2(fT_s) + A^2 m_a^2 \delta(f) \end{aligned}$$



■ 信号带宽:  $B = 2W \simeq \frac{2}{T_s} = 2R_b$   $\longleftrightarrow$  单极性不归零码带宽  $B = R_b$



## 6.2.1 OOK信号的解调和误比特率

---

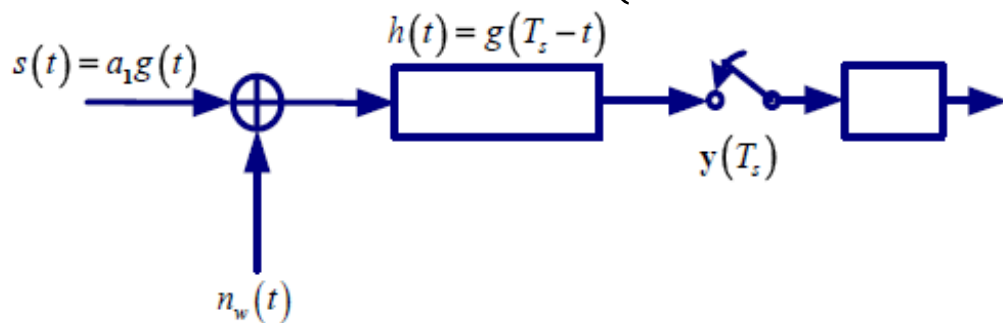
- 在宽带以及AWGN干扰下的解调
  - 匹配滤波器
  - LFP相干解调
  - 非相干解调
- 在理想限带及AWGN干扰下的最佳接收



## 6.2.1 OOK匹配滤波器解调的性能

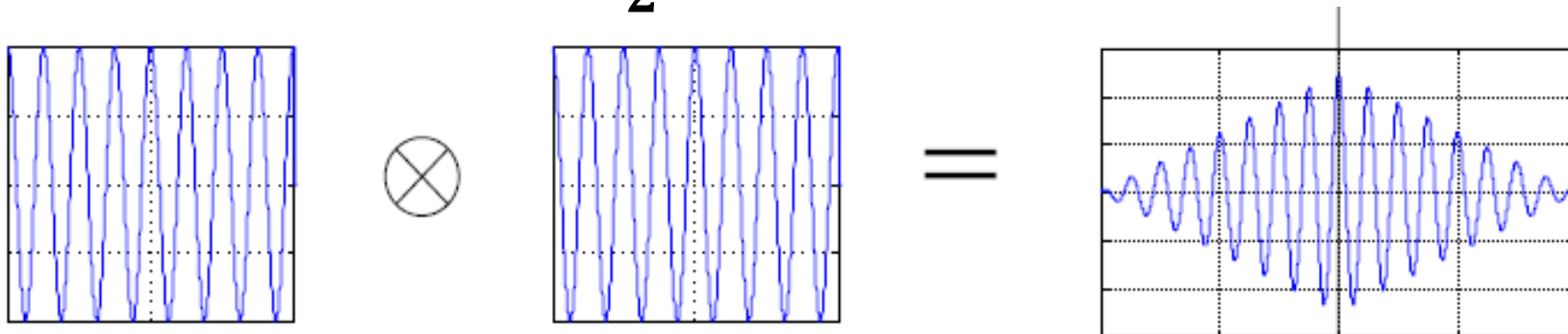
### 匹配滤波器

$$r(t) = s_{OOK}(t) + n_w(t) = \begin{cases} s_1(t) + n_w(t), & \text{"传号"} \\ n_w(t), & \text{"空号"}, 0 \leq t \leq T_s \end{cases}$$



$$h(t) = s_1(T_s - t) = A \cos 2\pi f_c (T_s - t), 0 \leq t \leq T_s$$

$$y(t) = g(t) \otimes h(t) = \frac{1}{2} A^2 T_s \cos 2\pi f_c (T_s - t), 0 \leq t \leq T_s$$



## 6.2.1 OOK匹配滤波器解调的性能

■ 假设发送 ‘1’

$$r(t) = s_1(t) + n_w(t)$$

$$\begin{aligned} y(t) &= \int_0^t r(\tau) h(t - \tau) d\tau \\ &= \int_0^t s_1(\tau) h(t - \tau) d\tau + \int_0^t n_w(\tau) h(t - \tau) d\tau \end{aligned}$$

最佳采样时刻  $t = T_b$ :

$$\begin{aligned} y(T_b) &= \int_0^{T_b} r(\tau) h(T_b - \tau) d\tau \\ &= \frac{A^2 T_b}{2} + n_o \sim N\left(\frac{A^2 T_b}{2}, \frac{N_0 A^2 T_b}{2}\right) \end{aligned}$$

$$p(y|s_1) = \frac{1}{\sqrt{\pi N_0 E_1}} \exp\left\{-\frac{(y - E_1)^2}{N_0 E_1}\right\} \quad \leftarrow \quad E_1 \triangleq \frac{A^2 T_b}{2}$$

## 6.2.1 OOK匹配滤波器解调的性能

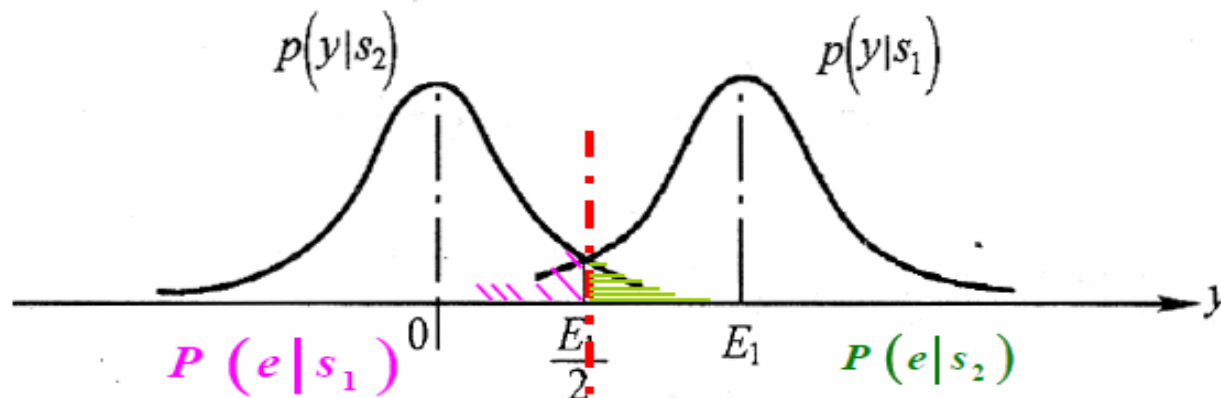
■ 假设发送 ‘0’

$$r(t) = s_2(t) + n_w(t) = n_w(t)$$

$$y(T_b) = \int_0^{T_b} n_w(\tau) h(T_b - \tau) d\tau$$

$$= n_o \sim N\left(0, \frac{N_0}{2} E_1\right)$$

$$p(y|s_2) = \frac{1}{\sqrt{\pi N_0 E_1}} \exp\left\{-\frac{y^2}{N_0 E_1}\right\}$$



## 6.2.1 OOK匹配滤波器解调的性能

### ■ 平均误比特率

$$\begin{aligned} P_b &= p(s_1)\Pr\{e|s_1\} + p(s_2)\Pr\{e|s_2\} \\ &= p(s_1) \int_{-\infty}^{V_T} p(y|s_1) dy + p(s_2) \int_{V_T}^{\infty} p(y|s_2) dy \end{aligned}$$

### ■ 最佳判决门限

$$\frac{\partial P_b}{\partial V_T} = 0 \rightarrow V_T = \frac{N_0}{2} \ln \frac{P(s_2)}{P(s_1)} + \frac{E_1}{2} \xrightarrow{p_1=p_2} V_T = \frac{E_1}{2}$$

$$\begin{aligned} P_b &= P(e|s_1) = \int_{-\infty}^{E_1/2} \frac{1}{\sqrt{\pi N_0 E_1}} \exp\left(-\frac{(y - E_1)^2}{N_0 E_1}\right) dy \\ &= Q\left(\sqrt{\frac{E_1}{2N_0}}\right) = Q\left(\sqrt{\frac{E_b}{N_0}}\right) \end{aligned}$$

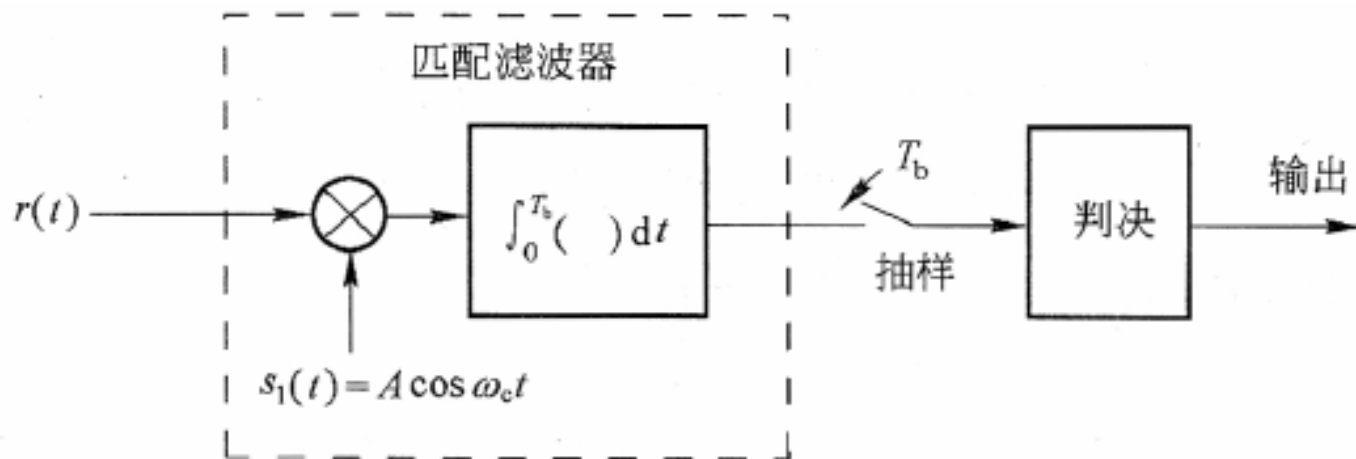
其中:  $E_b = \frac{E_1 + E_2}{2} = \frac{A^2 T_b}{4} \sim$  每比特能量

## 6.2.1 OOK匹配滤波器解调

- 采样点 $y(T_b)$ ，相乘+积分的相关型解调器

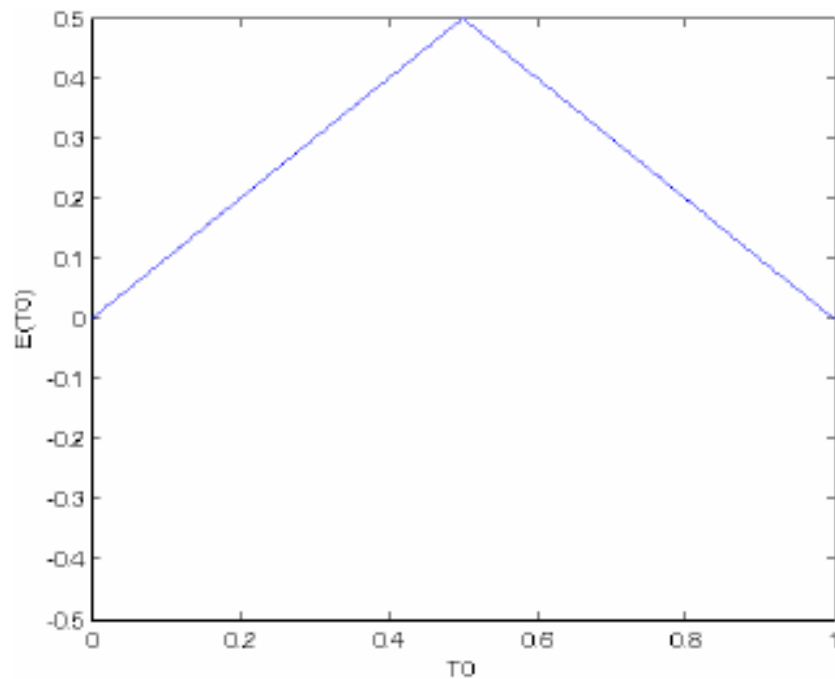
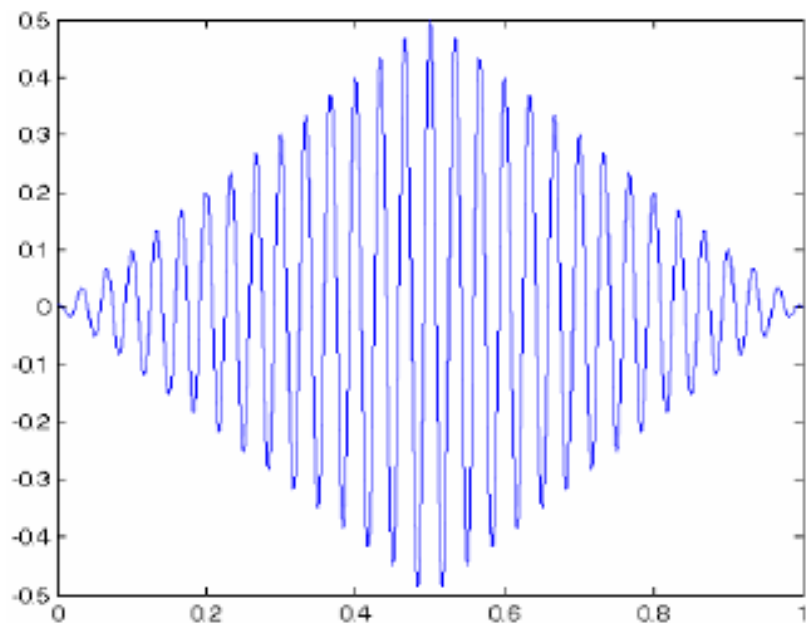
$$y(t) = \int_0^{T_b} r(\tau) h(t - \tau) d\tau = \int_0^{T_b} r(\tau) s_1(T_b - t + \tau) d\tau$$

$$y(t = T_b) = \int_0^{T_b} r(\tau) s_1(\tau) d\tau$$



本地信号与发送信号 $s_1(t)$ 需同频同相 → 具有匹配滤波器的相干解调

## 6.2.1 OOK匹配滤波器解调的性能



直接进行匹配滤波解调对定时  
要求非常高

与相干载波相乘再匹配滤波对定  
时的要求大大降低

# 例1

设某二进制基带传输系统在 $[0, T]$ 时间内等概发送下列两个信号之一：

$$s_1(t) = \begin{cases} \sin \frac{2\pi t}{T}, & 0 \leq t \leq T \\ 0, & \text{其他} \end{cases}, \quad s_2(t) = 0$$

发送信号叠加了双边功率谱密度为  $N_0/2$  的高斯白噪声  $n_w(t)$  后成为接收信号  $r(t) = s(t) + n_w(t)$ 。  
在接收端采用匹配滤波器进行最佳接收，其最佳采样时刻  $t_0$  的输出值为  $y$ 。试：

- (1) 写出最佳取样时刻  $t_0$ ，画出匹配滤波器冲激响应的波形图；
- (2) 求出发送  $s_1(t)$ ， $s_2(t)$  条件下  $y$  的均值、方差以及条件概率密度函数；
- (3) 求出该系统的平均误比特率表达式。



## 6.2.3 二进制移相键控 ( 2PSK )

- 定义：  
用二进制数字基带信号控制正弦载波的相位
- 特点：有两个相位（**0**和 $\pi$ ）
  - 发**1**时（传号）
  - 发**0**时（空号）
- 直接用数字基带信号（双极性）与正弦载波相乘即得到**2PSK**信号



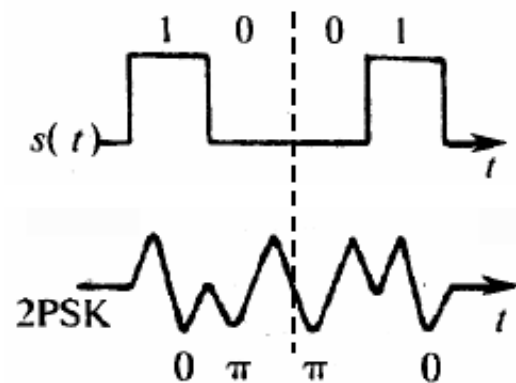
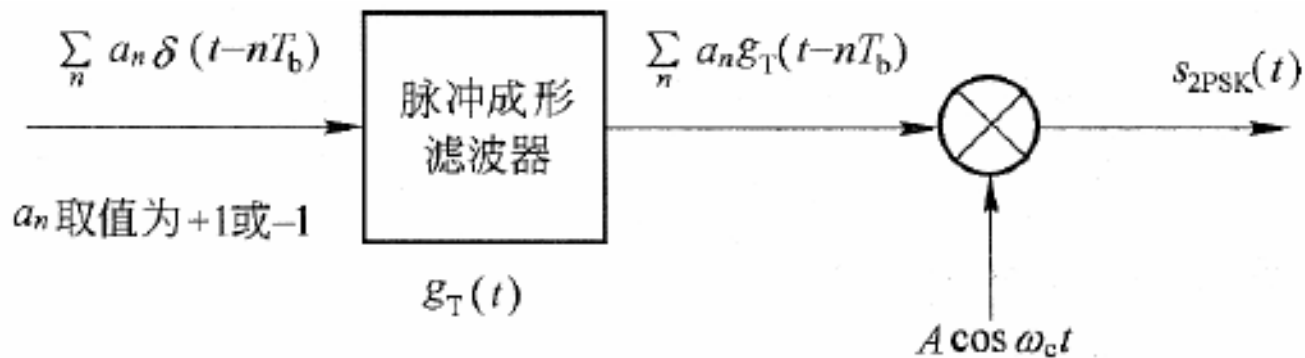
## 6.2.3 2PSK的产生

$$s_{2PSK}(t) = A \left[ \sum_n a_n g_T(t - nT_b) \right] \cos \omega_c t \quad \text{where } a_n \in \{+1, -1\}$$
$$= \begin{cases} s_1(t) = A \cos \omega_c t, & \text{“传号”} \\ s_2(t) = -A \cos \omega_c t = A \cos(\omega_c t + \pi), & \text{“空号”} \end{cases}$$

2PSK = 双极性不归零码 + DSB-SC

$$s_{OOK}(t) = \sum_n a_n g(t - nT_s), a_n \in \{1, -1\}$$

$$g(t) = A_c \text{Rect}\left(\frac{t - T_s/2}{T_s}\right) \cos 2\pi f_c t$$

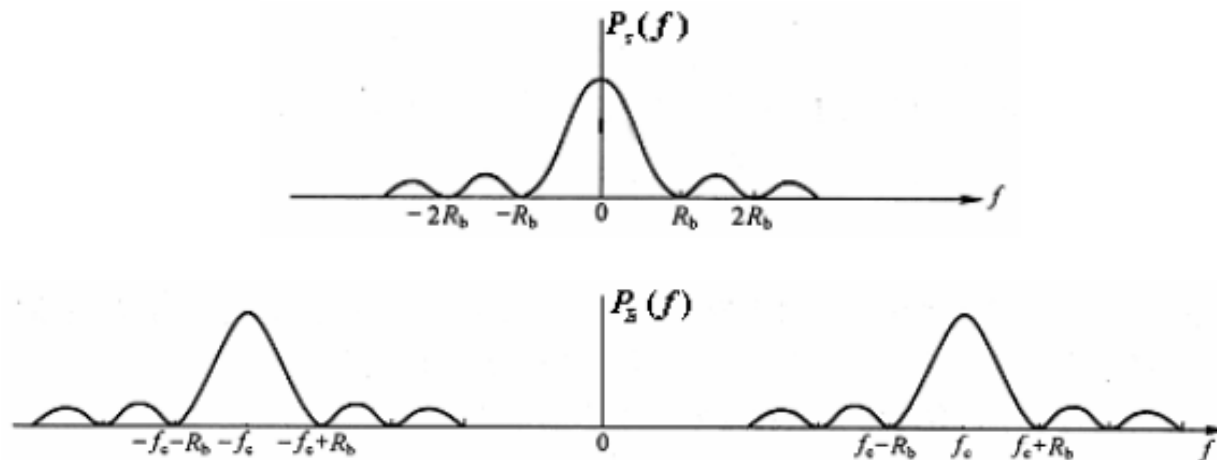


## 6.2.3 2PSK信号的频谱结构

$$\blacksquare S_{2\text{PSK}}(t) = s(t) \cos \omega_c t \iff P_s(f) = \frac{1}{4} [P_s(f - f_c) + P_s(f + f_c)]$$

$$s(t) = \sum_n a_n g(t - nT_s) \quad \sim \text{双极性不归零矩形脉冲序列}$$

$$P_s(f) = \frac{\sigma_a^2}{T_s} |G(f)|^2 = \sigma_a^2 A^2 T_s \cdot S_a^2(\pi f T_s)$$

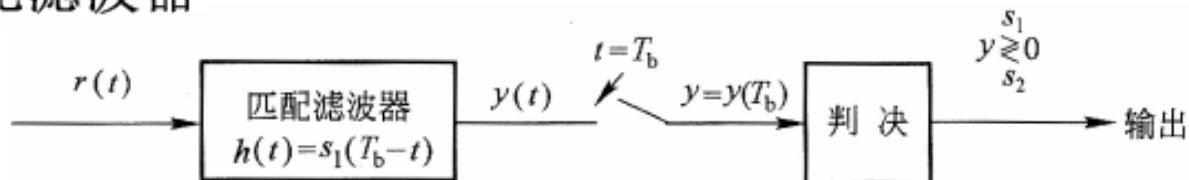


$$\blacksquare \text{信号带宽: } \frac{2}{T_s} = 2R_b.$$

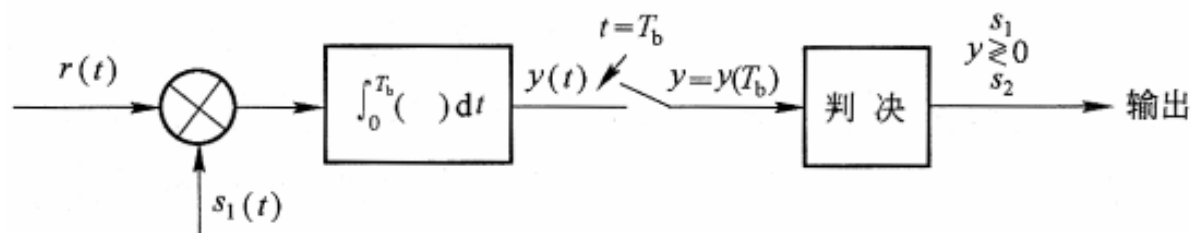
无离散载频分量，只有连续谱

## 6.2.3 2PSK解调的性能

### ■ 匹配滤波器



(a) 匹配滤波器



(b) 相关型解调器

■ 发送 $s_1$ :  $y(T_b) = E_b + Z$

■ 发送 $s_2$ :  $y(T_b) = -E_b + Z$

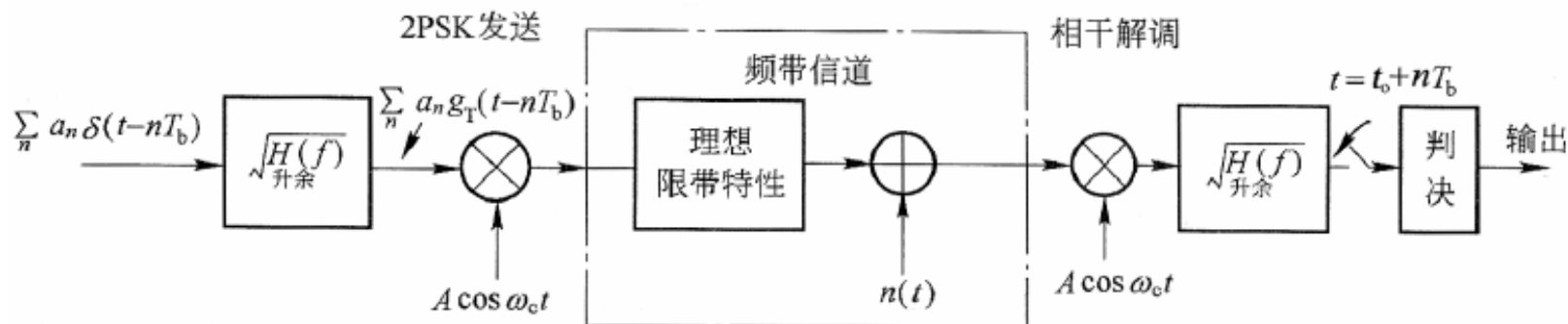
$$P(s_1) = P(s_2) = 1/2$$

$$V_T = 0$$

$$P_{e,d} = Q\left(\sqrt{\frac{2E_b}{N_0}}\right) = Q\left(\sqrt{\frac{(1-\rho)E_b}{N_0}}\right)$$

## 6.2.3 2PSK解调的性能

- 理想限带信道下的最佳接收



- 误比特率（与匹配滤波器接收相同）

$$P_b = Q\left(\sqrt{\frac{2E_b}{N_0}}\right)$$

# 小结: 2ASK、BPSK的信号表示及频谱

$$s_{2A/PSK}(t) = A_c \sum_n a_n g_L(t - nT_s) \cos(2\pi f_c t)$$

$$= s_L(t) \cos(2\pi f_c t), \quad s_L(t) = A_c \sum_n a_n g_L(t - nT_s)$$

$$= A_c \sum_n a_n g_B(t - nT_s), \quad g_B(t - nT_s) = g_L(t) \cos(2\pi f_c t)$$

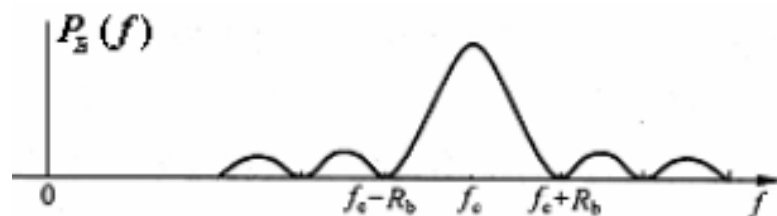
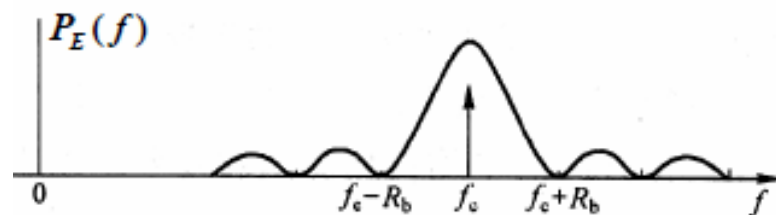
$$= A_c a_n \cos(2\pi f_c t), \quad a_n \in \{0, 1\} \text{ or } \{\pm 1\}, \quad t \in [(n-1)T_s, nT_s]$$

$$P_{OOK}(f) = \frac{\sigma_a^2}{T_s} |G(f)|^2 + \frac{m_a^2}{T_s^2} \delta(f)$$

$$P_{BPSK}(f) = \frac{\sigma_a^2}{T_s} |G(f)|^2$$

## ■ 信号带宽

$$B = 2W_L = R_s(1 + \alpha) = 2R_b$$



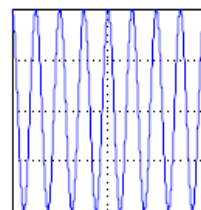
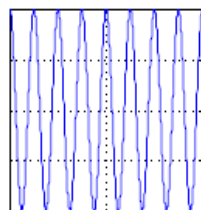
# 小结：2ASK/BPSK 解调-MF

$$r(t) = s(t) + n_w(t) = A \sum_n a_n g_T(t - nT_s) \cos 2\pi f_c t = \sum_n a_n A g_B(t - nT_s)$$

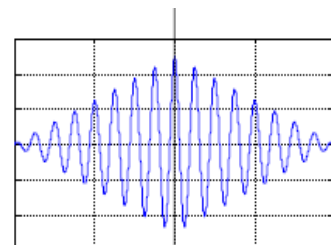
$$h(t) = g_B(T_s - t) = A \cos 2\pi f_c (T_s - t), \quad 0 \leq t \leq T_s$$

$$y_o = a_0 h(t) \otimes g(t)|_{t=T_s} + n_o = a_0 E_g + n_o \sim N(a_0 E_1, \sigma_n^2)$$

$$E_1 \triangleq \frac{A^2 T_s}{2} \quad \sigma_n^2 \triangleq \frac{N_0 A^2 T_s}{4}$$



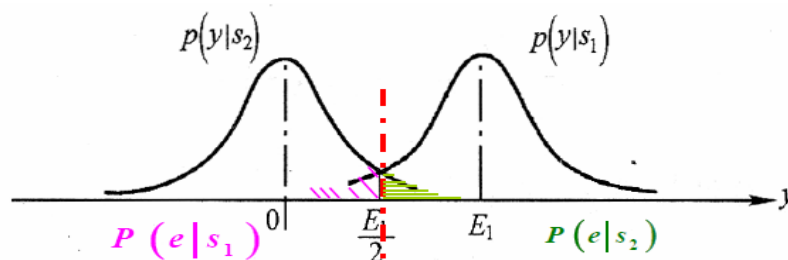
=



■ 最佳判决门限：

$$V_T = \frac{N_0}{2} \ln \frac{p_0}{p_1} + \frac{E_1}{2}$$

$$V_T = \frac{N_0}{4} \ln \frac{p_0}{p_1}$$



■ 平均误码率：

$$p_e = Q\left(\sqrt{\frac{(1-\rho)E_b}{N_0}}\right)$$

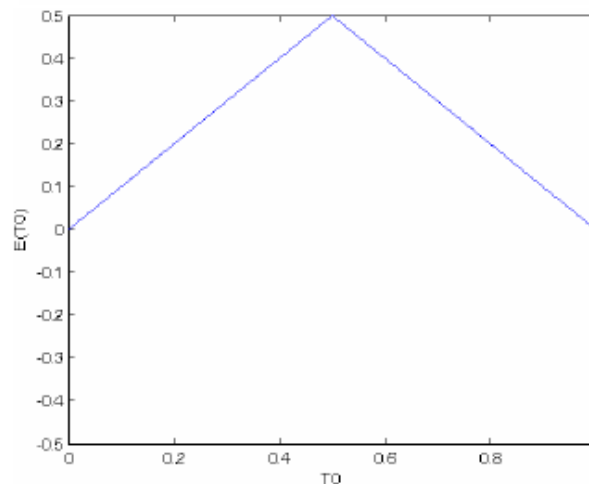
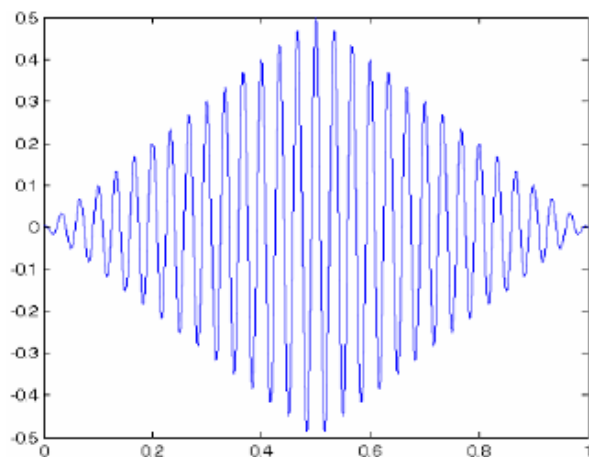
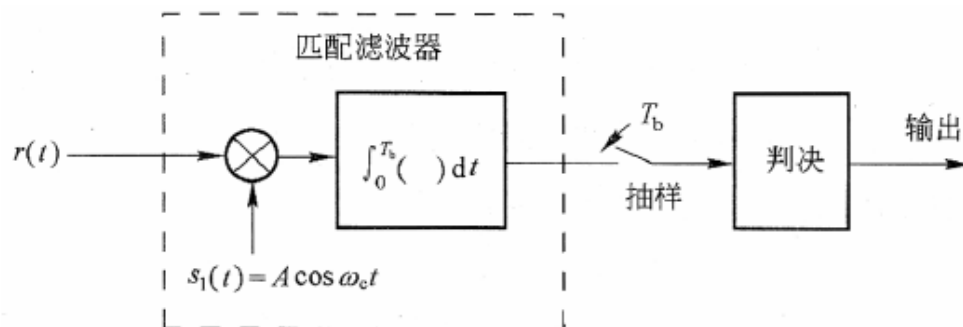
$$E_b = \frac{E_1}{2} = \frac{A^2 T_s}{4}, \quad 2\text{ASK}$$

$$E_b = E_1 = \frac{A^2 T_s}{2}, \quad \text{BPSK}$$

# 小结：MF的等效形式

$$y(t) = \int_0^{T_b} r(\tau) h(t - \tau) d\tau = \int_0^{T_b} r(\tau) s_1(T_b - t + \tau) d\tau$$

$$y(t = T_b) = \int_0^{T_b} r(\tau) s_1(\tau) d\tau$$



直接进行匹配滤波解调对定时  
要求非常高

与相干载波相乘再匹配滤波对定  
时的要求大大降低

## 6.2.2 二进制移频键控 (2FSK)

- 定义：用二进制基带信号控制正弦载波的频率

$$\begin{aligned}s_{2FSK}(t) &= A_c \cos\left(2\pi f_c t + 2\pi k_f \int_{-\infty}^t \sum_n a_n g(\tau - nT_s) d\tau\right) \\&= A_c \cos(2\pi(f_c + a_n k_f)t), \quad (n-1)T_s \leq t < nT_s \\&= A_c \cos(2\pi(f_c \pm \Delta f)t), \quad a_n \in \{\pm 1\}, (n-1)T_s \leq t < nT_s\end{aligned}$$

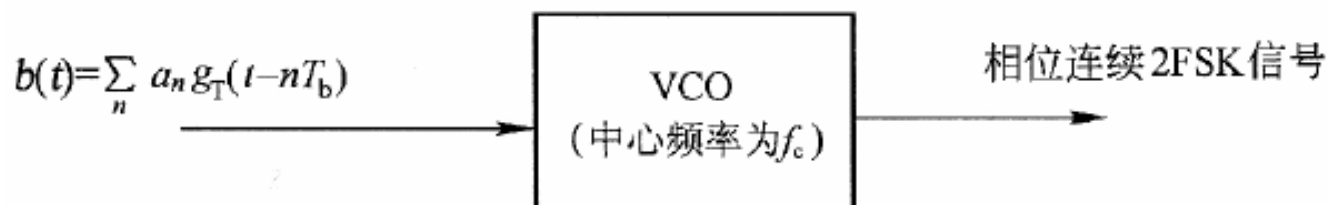
- 相位关系

$$\theta(t) = 2\pi k_f \int_{-\infty}^t \sum_n a_n g(\tau - nT_s) d\tau = 2\pi k_f \int_{-\infty}^t b(\tau) d\tau$$



## 6.2.2 2FSK

### ■ 相位连续的2FSK信号

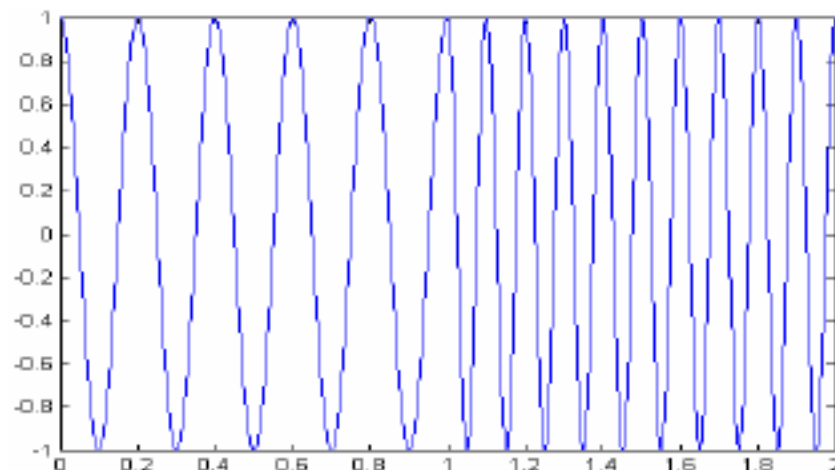


$$S_{\text{FSK}}(t) = A \cos \left[ 2\pi f_c t + 2\pi k_f \int_{-\infty}^t b(\tau) d\tau \right]$$
$$= \text{Re} \left[ v(t) e^{j2\pi f_c t} \right]$$

### ■ 复包络:

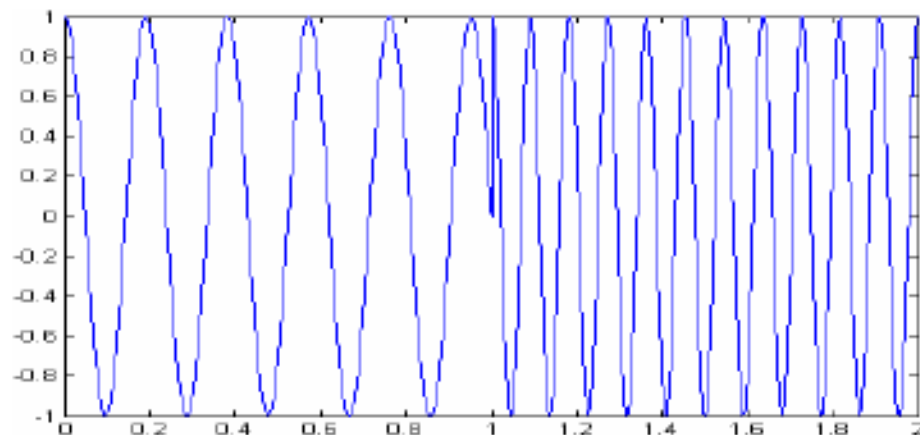
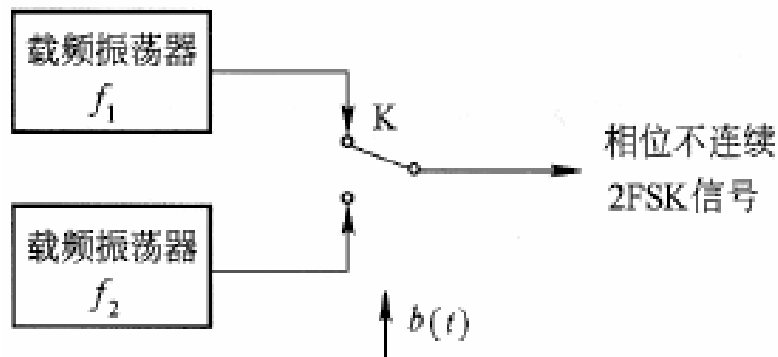
$$v(t) = A e^{j\theta(t)}$$

$$\theta(t) = 2\pi k_f \int_{-\infty}^t b(\tau) d\tau$$



## 6.2.2 2FSK

### ■ 相位不连续的2FSK信号



$$s_{FSK}(t) = \begin{cases} s_1(t) = A \cos 2\pi f_1 t, & \text{"1"} \\ s_2(t) = A \cos 2\pi f_2 t, & \text{"0"} \end{cases}, \quad 0 \leq t \leq T_b$$

定义:  $f_c = \frac{f_1 + f_2}{2}$ ,  $\Delta f = \frac{f_1 - f_2}{2}$

$$s_{FSK}(t) = \begin{cases} s_1(t) = A \cos 2\pi(f_c + \Delta f)t, & \text{"1"} \\ s_2(t) = A \cos 2\pi(f_c - \Delta f)t, & \text{"0"} \end{cases}, \quad 0 \leq t \leq T_b$$

## 6.2.2 2FSK的相关系数

### ■ 两信号波形之间的互相关系数

$$E_1 = E_2 = \frac{A^2 T_b}{2} = E_b$$

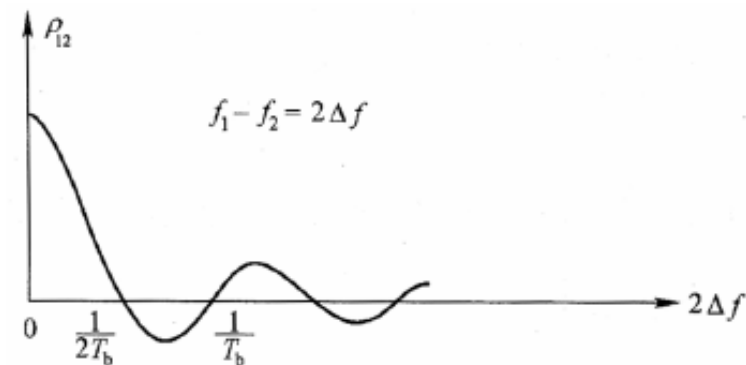
$$\rho_{12} = \frac{1}{\sqrt{E_1 E_2}} \int_0^{T_s} s_1(t) s_2^*(t) dt = \frac{1}{E_b} \int_0^{T_s} s_1(t) s_2(t) dt$$

$$= \frac{2}{T_b} \int_0^{T_s} \cos[2\pi(f_c + \Delta f)t] \cos[2\pi(f_c - \Delta f)t] dt$$

$$= \frac{1}{T_b} \int_0^{T_s} \cos[4\pi f_c t] + \cos[4\pi \Delta f t] dt$$

$$= \text{sinc}(4f_c T_b) + \text{sinc}(4\Delta f T_b)$$

$$\simeq \text{sinc}(4\Delta f T_b) \quad \leftarrow f_c T_b \gg 1$$



$$\rho_{12} = 0$$

$$\rightarrow 4\Delta f T_b = n \in \mathbb{Z}$$

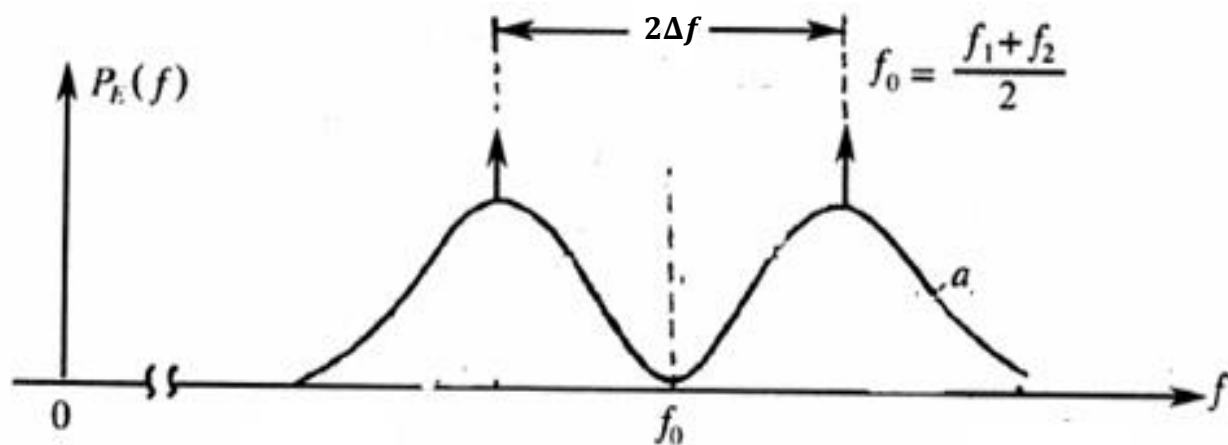
$$n = 1$$

$$\rightarrow f_1 - f_2 = 2\Delta f = \frac{1}{2T_b}: \rho_{12} = 0 \text{ 最小频率间隔}$$

■ 当  $f_1 - f_2 \gg R_b$  时,  $\rho_{12} \simeq 0$

## 6.2.2 2FSK信号的频谱结构

- 信号带宽



$$B_{FSK} = 2\Delta f + 2B = 2\Delta f + 2R_b \geq 2.5R_b$$

## 6.2.2 2FSK信号的频谱结构

### ■ 2FSK信号的功率谱密度

- 相位连续的2FSK信号的平均PSK：旁瓣按 $f^{-4}$ 衰减
- 相位不连续的2FSK信号的平均PSK：旁瓣按 $f^{-2}$ 衰减

### ■ 2FSK信号的带宽

$$B_{FSK} = 2\Delta f + 2W$$

$W$ ：基带信号带宽

- 矩形不归零基带波形： $B_{FSK} = 2\Delta f + 2R_b$
- 升余弦基带波形，滚降因子为 $\alpha$ 时： $B_{FSK} = 2\Delta f + (1 + \alpha)R_b$



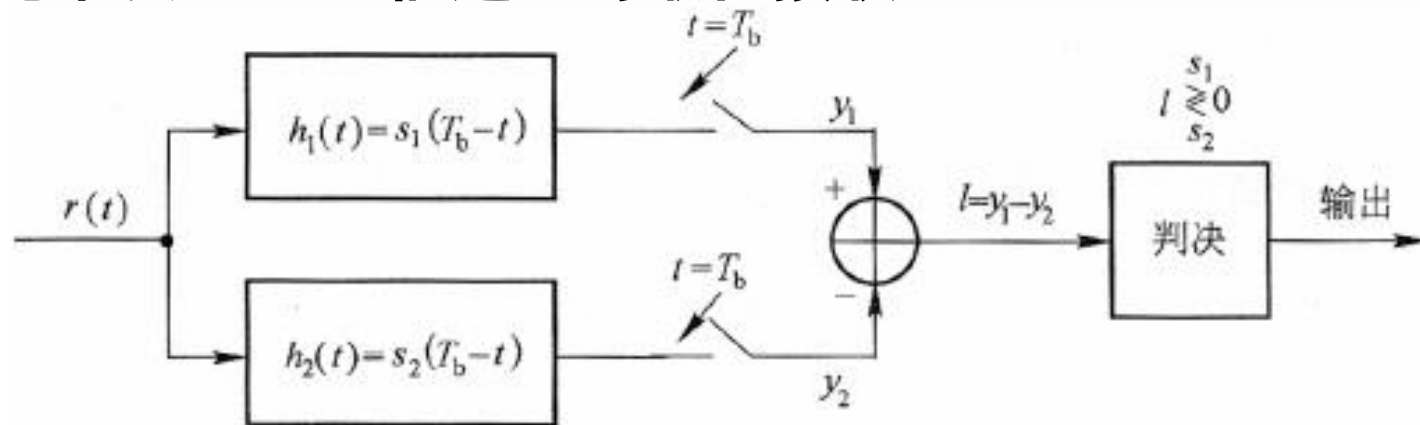
## 6.2.2 2FSK信号的解调

---

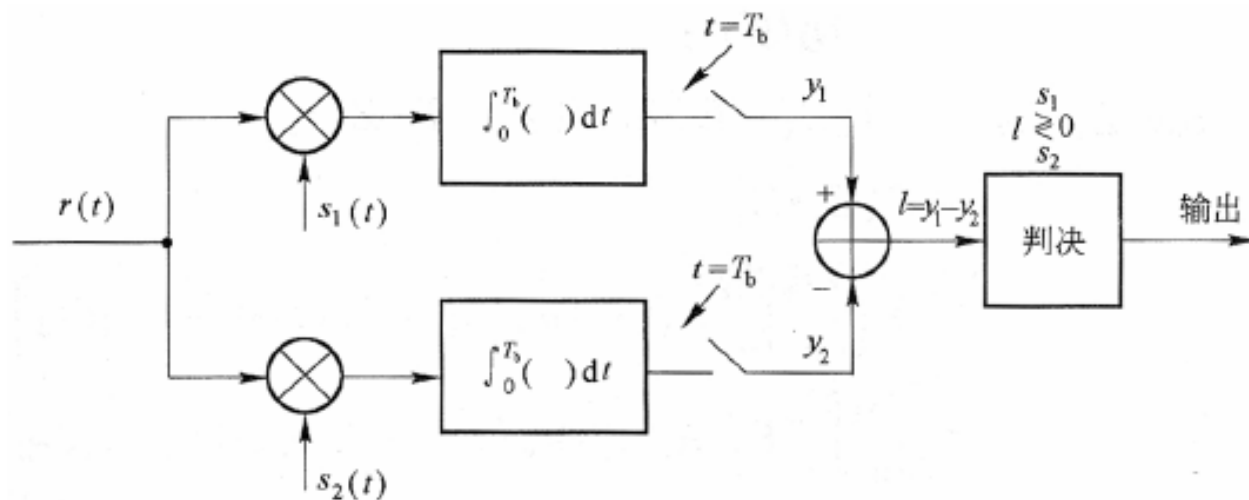
- MF解调
- 相干解调
- 非相干解调
  - 鉴频器
  - 包络检波

## 6.2.2 2FSK信号的MF解调

### ■ 宽带及AWGN信道下的最佳接收



(a) 匹配滤波器



(b) 相关型解调器

## 6.2.2 2FSK信号的MF解调

■  $s_1(t)$ 与 $s_2(t)$ 正交

■ 发送 $s_1(t)$ :

$$\begin{cases} y_1(T_b) = E_b + Z_1 \\ y_2(T_b) = Z_2 \end{cases}$$

$$l = y_1 - y_2 = E_b + Z_1 - Z_2 \sim N(E_b, 2\sigma_n^2)$$

$$\begin{cases} Z_1 = n_w(t) \otimes h_1(t)|_{t=T_b} = \int_0^{T_b} n_w(t)s_1(t)dt \\ Z_2 = n_w(t) \otimes h_2(t)|_{t=T_b} = \int_0^{T_b} n_w(t)s_2(t)dt \end{cases}$$

$$E\{Z_1\} = E\{Z_2\} = 0$$

$$D\{Z_1\} = D\{Z_2\} = \frac{N_0 E_b}{2} = \sigma_n^2$$

$$\begin{aligned} R_{z_1 z_2}(\tau) &= R_{z_1}(-\tau) \otimes R_{z_2}(\tau) \\ &= R_{n_w}(\tau) \otimes R_{s_1 s_2}(\tau) \\ &= 0 \end{aligned}$$

■ 发送 $s_2(t)$ :

$$\begin{cases} y_1(T_b) = Z_1 \\ y_2(T_b) = E_b + Z_2 \end{cases}$$

$$l = y_1 - y_2 = -E_b + Z_1 - Z_2 \sim N(-E_b, 2\sigma_n^2)$$

■ 判决准则:  $l \leq V_T: s_2$  or  $s_1$

■ 如 $s_1(t)$ 与 $s_2(t)$ 等概:  $V_T = 0$

$$p_e = Q\left(\sqrt{\frac{E_b}{N_0}}\right) = Q\left(\sqrt{\frac{(1-\rho)E_b}{N_0}}\right)$$



## 6.2.2 2FSK信号的MF解调

■ 如果只有单支路:  $h_1(t) = s_1(T_b - t), h_2(t) = 0$

■ 发送 $s_1(t)$ :

$$y(T_b) = E_b + Z_1 \sim N(E_b, \sigma_n^2)$$

$$Z_1 = n_w(t) \otimes h_1(t)|_{t=T_b} = \int_0^{T_b} n_w(t) s_1(t) dt$$

$$E\{Z_1\} = 0$$

$$D\{Z_1\} = \frac{N_0 E_b}{2} = \sigma_n^2$$

■ 判决准则:  $l \leq V_T: s_2 \text{ or } s_1$

■ 如 $s_1(t)$ 与 $s_2(t)$ 等概:  $V_T = E_b/2$

$$p_e = Q\left(\frac{E_b/2}{\sigma_n}\right) = Q\left(\sqrt{\frac{E_b}{2N_0}}\right) > Q\left(\sqrt{\frac{(1-\rho)E_b}{N_0}}\right)$$

■ 发送 $s_2(t)$ :

$$y(T_b) = Z_1 \sim N(0, \sigma_n^2)$$

- $\rho = 0$ 且 $E_1 \neq 0, E_2 \neq 0$ 时, 最佳接收机是双支路MF相减的形式;
- $\rho = 0$ 但 $E_1 = 0$ 或 $E_2 = 0$ 时, 最佳接收机是单支路MF的形式;



## 6.2.4 载波同步

---

- 相干解调的需求：相干载波
- 直接法(自同步法)
- 插入导频法(外同步法)
- 非线性变换——滤波法、特殊锁相环法
  - 对**2PSK**作非线性变换
  - 平方环法
  - 科斯塔斯 (**COSTAS**) 环法



## 6.2.4 2PSK的载波同步

- 平方环法

$$s_{BPSK}(t) = b(t) \cos \omega_c t$$

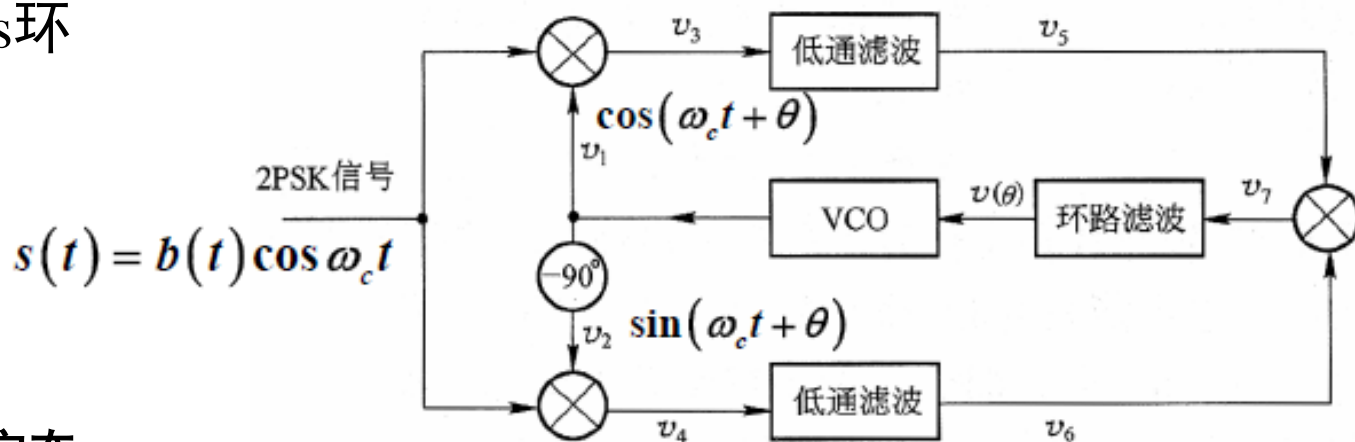
$$b^2(t) \cos^2 \omega_c t = \frac{1}{2} [b^2(t) + b^2(t) \cos 2\omega_c t]$$

$b^2(t)$  中含有离散的直流分量

$b^2(t) \cos 2\omega_c t$  含有离散的2倍载频分量

## 6.2.4 2PSK的载波同步——锁相环

- PLL原理：构造待调量的过零点单调函数，然后反向调整锁定零点
- Costas环



■ 稳定态：

$$v_5(t) = b(t) \cos \omega_c t \cos(\omega_c t + \theta) \Big|_{\text{LPF}} = \frac{1}{2} b(t) \cos \theta$$

$$v_6(t) = b(t) \cos \omega_c t \sin(\omega_c t + \theta) \Big|_{\text{LPF}} = \frac{1}{2} b(t) \sin \theta$$

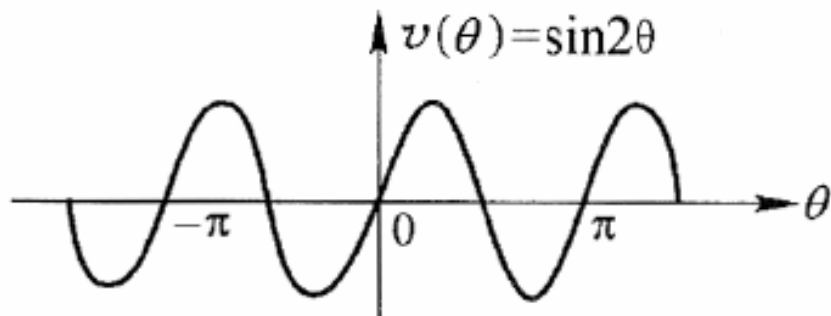
$$v_7(t) = v_5(t)v_6(t) = \frac{1}{8} b^2(t) \sin 2\theta \simeq \frac{1}{4} b^2(t) \theta$$

$v(\theta)$ 与 $\theta$ 成正比，反向调整VCO的频率，中心频率为 $\omega_c$

## 6.2.4 2PSK的载波同步

### ■ 恢复载波的相位模糊问题

$v(\theta) = \sin 2\theta$  周期过零点，相位有可能锁定在  $\pm\pi$

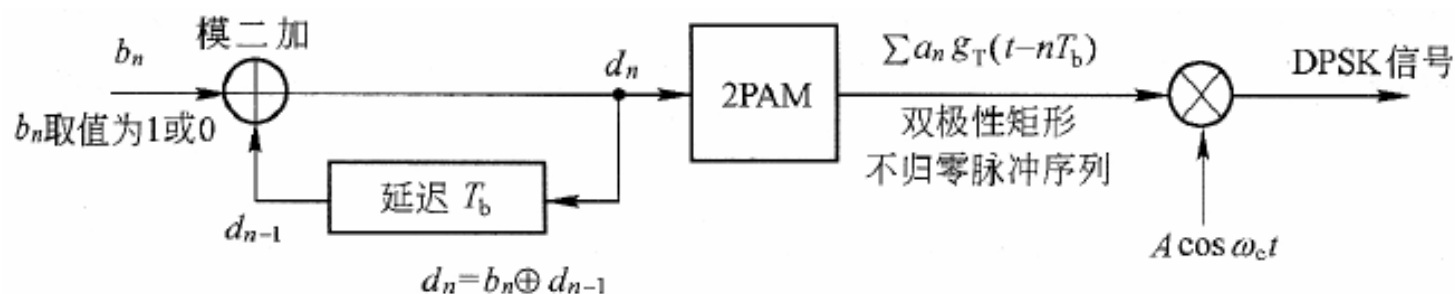


### ■ 解决办法：差分移位键控（DPSK）

## 6.2.5 差分移相键控 ( DPSK )

- DPSK: 利用相邻码元的载波相位差来表示信息

$$\Delta\theta = \theta_n - \theta_{n-1} = \begin{cases} \pi, & \text{"1"} \\ 0, & \text{"0"} \end{cases}$$

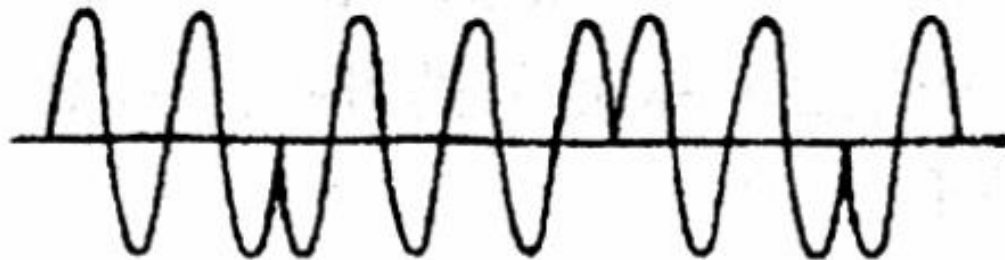


$\{b_n\}$		0	0	1	1	1	0	0	1	0	1
$\{d_n\}$	0	0	0	1	0	1	1	1	0	0	1
$\{a_n\}$	-1	-1	-1	+1	-1	+1	+1	+1	-1	-1	+1
$\{\theta_n\}$	$\pi$	$\pi$	$\pi$	0	$\pi$	0	0	0	$\pi$	$\pi$	0
$\{\theta_n - \theta_{n-1}\}$		0	0	$\pi$	$\pi$	$\pi$	0	0	$\pi$	0	$\pi$

## 6.2.5 DPSK信号波形

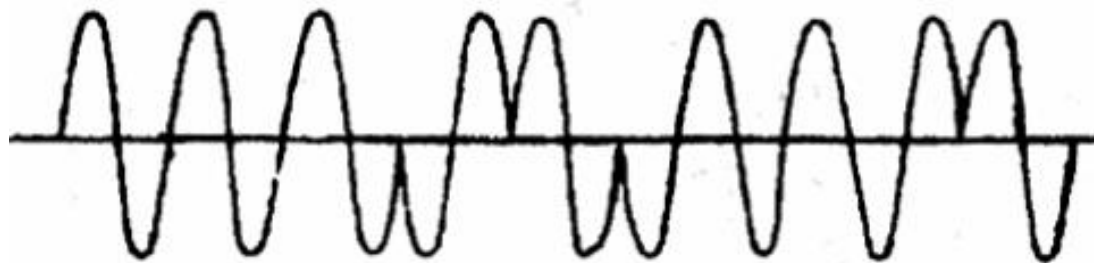
信息序列      0      0      1      1      1      0      0      1

2PSK             $\pi$      $\pi$       0      0      0       $\pi$      $\pi$       0



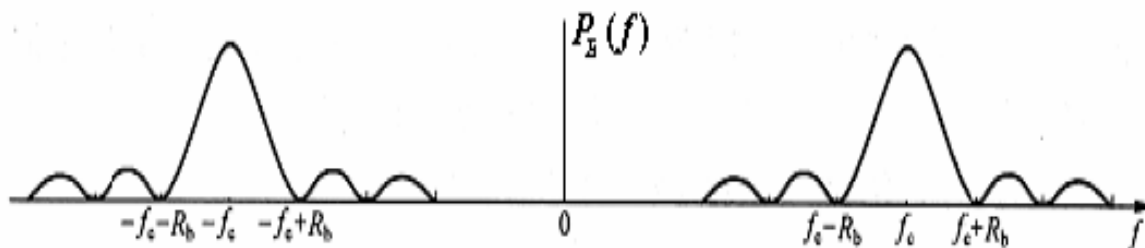
2DPSK     $\pi$      $\pi$      $\pi$       0       $\pi$       0      0      0       $\pi$

(参考)



## 6.2.5 DPSK信号的频谱结构

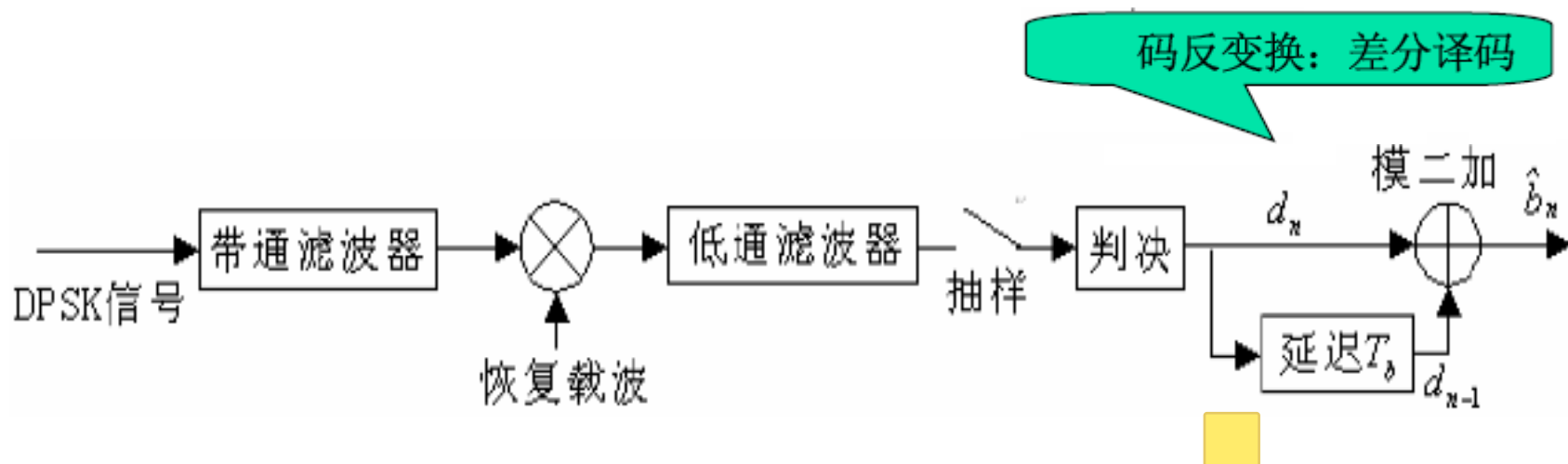
- 原始0、1比特独立等概时，DPSK信号的功率谱与2PSK信号的功率谱相同





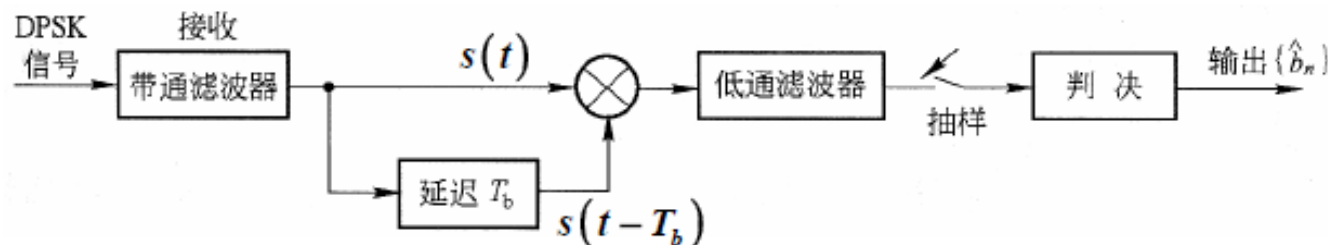
## 6.2.5 DPSK信号的接收（1）

### ■ 相干解调：同步检测法



## 6.2.5 DPSK信号的接收（2）

### ■ 差分相干解调：相位比较法



$$s(t)s(t - T_b) = \cos(\omega_c t + \theta_n) \cos[\omega_c(t - T_b) + \theta_{n-1}]$$

$$= \frac{1}{2} [\cos(\omega_c T_b + \theta_n - \theta_{n-1}) + \cos(2\omega_c t - \omega_c T_b + \theta_n - \theta_{n-1})]$$

$$\xrightarrow[\omega_c T_b = 2\pi f_c T_b = 2\pi n]{\text{LPF}} \frac{\cos(\theta_n - \theta_{n-1})}{2}$$

判决准则：  $\cos(\theta_n - \theta_{n-1}) \geq 0$ : 0/1

## 6.2.5 DPSK信号的接收 ( 3 )

- 差分相干解调：相位比较法

$\{b_n\}$		0	0	1	1	1	0	0	1	0	1
$\{d_n\}$	0	0	0	1	0	1	1	1	0	0	1
$\{a_n\}$	-1	-1	-1	+1	-1	+1	+1	+1	-1	-1	+1
$\{\theta_n\}$	$\pi$	$\pi$	$\pi$	0	$\pi$	0	0	0	$\pi$	$\pi$	0
$\{\theta_n - \theta_{n-1}\}$		0	0	$\pi$	$\pi$	$\pi$	0	0	$\pi$	0	$\pi$
$\cos(\theta_n - \theta_{n-1})$		1	1	-1	-1	-1	1	1	-1	1	-1
$\{\hat{b}_n\}$		0	0	1	1	1	0	0	1	0	1

## 6.2.5 DPSK的误比特率

### ■ 相干解调

设BPSK的误码率为 $p_b$ ，平均正确判决概率 $p_c = 1 - p_b$

DPSK正确判决事件为：

{正确解调} = {当前比特错，前一比特也错} + {当前比特对，前一比特也对}

DPSK的平均正确判决概率为：

$$p_{cd} = p_b^2 + p_c^2 = p_b^2 + (1 - p_b)^2 = 1 - 2p_b + 2p_b^2$$

$$p_{ed} = 1 - p_{cd} = 2p_b - 2p_b^2 \simeq 2p_b: \text{当 } p_b \ll 1 \text{ 时}$$

在误码率为 $10^{-4}$ 时，DPSK的解调SNR比BPSK大1 dB

### ■ 如果系统的噪声很小

- 解调时无相位模糊，BPSK的误码率很小，DPSK的误码率是BPSK的2倍；
- 如果存在相位模糊，BPSK连续出错，DPSK的性能远优于BPSK



## 6.2 二进制数字调制系统的性能比较

### ■ 调制带宽

#### ■ 2ASK, 2PSK, 2DPSK

$$B_{ASK} = B_{PSK} = 2W, \quad W \sim b(t) \text{ 带宽.}$$

#### ■ 2FSK:

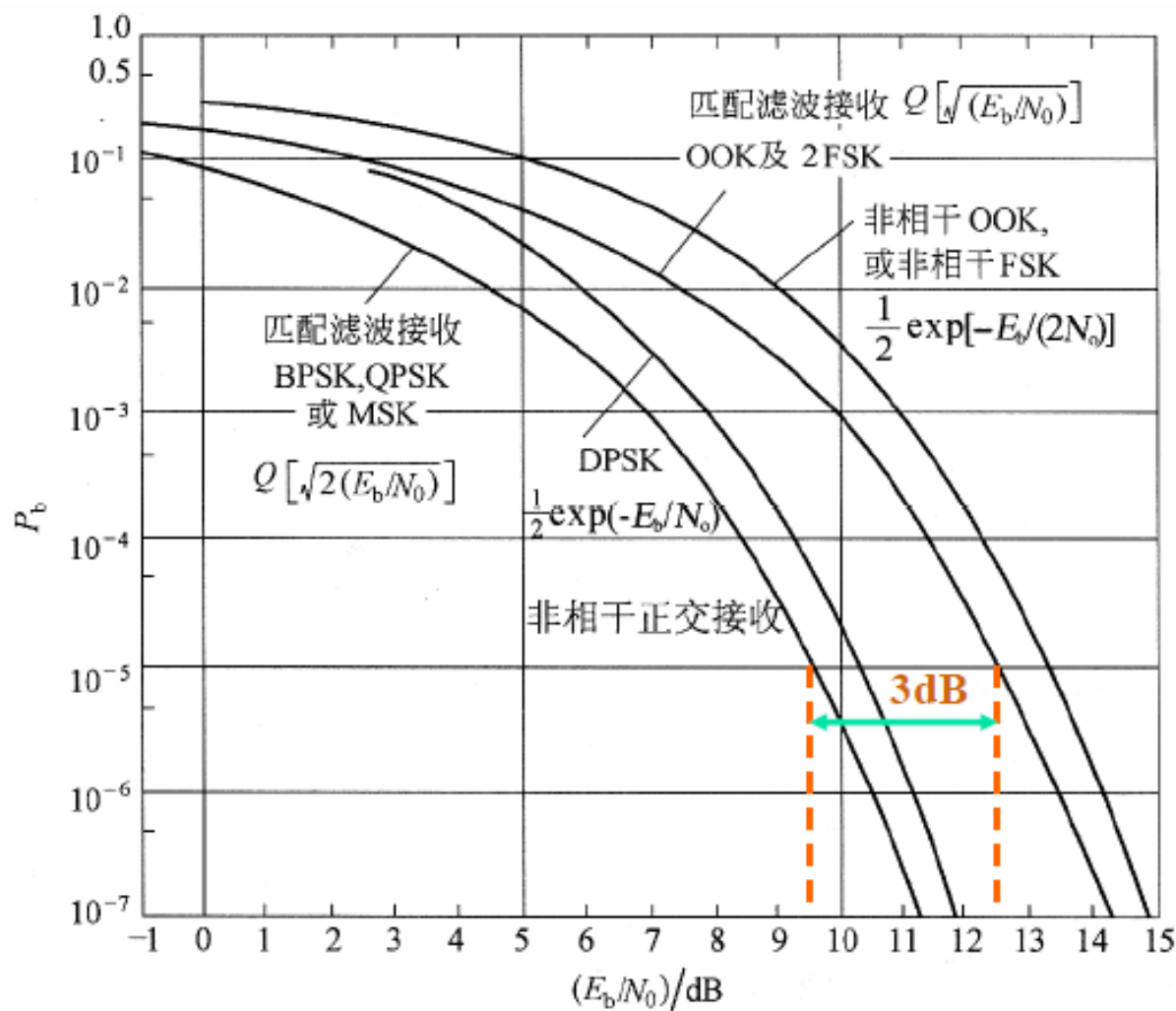
$$B_{FSK} = 2\Delta f + 2W.$$

## 6.2 二进制数字调制系统的性能比较

### ■ 误比特率

	最佳接收	<b>LPF</b> 相干解调	非相干解调
■ <b>2ASK</b>	$\frac{1}{2} \operatorname{erfc}\left(\sqrt{\frac{E_b}{2N_0}}\right)$	$\frac{1}{2} \operatorname{erfc}\left(\sqrt{\frac{A^2}{8\sigma^2}}\right)$	$\frac{1}{2} \exp\left(-\frac{A^2}{8\sigma^2}\right)$
■ <b>2FSK</b>	$\frac{1}{2} \operatorname{erfc}\left(\sqrt{\frac{E_b}{2N_0}}\right)$	$\frac{1}{2} \operatorname{erfc}\left(\sqrt{\frac{A^2}{4\sigma^2}}\right)$	$\frac{1}{2} \exp\left(-\frac{A^2}{4\sigma^2}\right)$
■ <b>2PSK</b>	$\frac{1}{2} \operatorname{erfc}\left(\sqrt{\frac{E_b}{N_0}}\right)$	$\frac{1}{2} \operatorname{erfc}\left(\sqrt{\frac{A^2}{2\sigma^2}}\right)$	
■ <b>DPSK</b>	$\frac{1}{2} \exp\left(-\frac{E_b}{N_0}\right)$		$\frac{1}{2} \exp\left(-\frac{A^2}{2\sigma^2}\right)$

## 6.2 二进制数字调制系统的性能比较

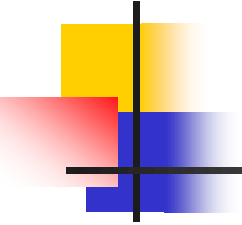


(注: 图中的OOK及2FSK非相干解调性能是在频带传输系统具有 $\infty=0$ 的升余弦频率特性, 频带宽度  $B=R_b$  条件下得到的)

$$\frac{A^2}{2\sigma^2} = \frac{S}{N_0 B} = \frac{E_b}{N_0} \cdot \frac{R_b}{B}$$

$$\leq \frac{E_b}{N_0}$$

$$(\because B = 2W, W \geq \frac{R_b}{2})$$



---

**6.1~6.3, 6.6, 6.9, 6.10**